

RELYATIVISTIK CU+CU TO'QNASHUVLARDAGI PIONLAR, KAONLAR, PROTONLAR VA ANTIPIRONLAR SPEKTRLARINI FITLASH

M. U. Sultanov, B. Imomov, J. Parmanov, F.Tugalov

Samarqand davlat arxitektura-qurilish instituti

Q. Yakhshiboyev

Samarqand davlat arxitektura-qurilish instituti akademik litseyi

ANNOTATSIYA

BRAHMS kollaboratsiyasi $\sqrt{S_{NN}}=200$ GeV energiyali relyativistik Cu+Cu to'qnashuvlarda hosil bo'lgan pionlar, kaonlar, protonlar va antiprotonlarning ko'ndalang impuls spektrlarini tezkorlikning $y=0$ va $y=3$ bo'lgan qiymatlarida o'lchagan. To'qnashuv markaziyligi oshib borishi bilan zarralar kollektiv radial oqimi ham osha boradi va kinetik friz-aut temperatura kamayadi. Old tezkorlikda radial oqim sust bo'lib, temperatura pastroq. Ko'ndalang impulsning $1,5 \text{ GeV}/c < p_t < 2,5 \text{ GeV}/c$ intervalida pion va kaonlarning chiqishi shu energiyadagi $p+p$ to'qnashuvlardagiga nisbatan qiyinlashgan. Mazkur ishda tajribada olingan zarralar spektlari Levi va eksponentsiyal ko'rinishdagi Boltzman funksiyalari bilan fit qilingan. Pionlar spektrlarini Levi funksiyasi bilan, kaon va protonlar spektrlarini Boltzman tipidagi eksponentsiyal funksiya bilan fitlash yaxshi natijalarga olib kelishi ko'rsatilgan.

Kalit so'zlar: pion, kaon, proton, antiproton, kvark, gleyon, plazma, ko'ndalang impuls, temperatura, eksponentsiyal, markaziylilik.

FITTING THE SPECTRA OF PIONS, KAONS, PROTONS AND ANTIPROTONS IN RELATIVISTIC CU + CU COLLISIONS

ABSTRACT

The BRAHMS collaboration investigated the spectra of pions, kaons, protons, and antiprotons in relativistic Cu + Cu at an energy of $\sqrt{S_{NN}}=200$ GeV/s at the rapidity values $y=0$ and $y=3$. It was found that with an increase in the centrality of collisions, the collective radial flux of particles increases and the freeze-out temperature decreases.

$1.5 \text{ GeV}/c < p_t < 2.5 \text{ GeV}/c$, the yield of pions and kaons is suppressed than in $p + p$ collisions at the same energy. In this work, the experimentally obtained particle

spectra are fitted by the Levy function and the exponential function of the Boltzmann type. It is shown that the fitted spectra of pions by the Levy function and the spectra of kaons and protons with an exponential function describe the experimental data well.

Keywords: pion, kaon, proton, antiproton, quark, gluon, plasma, transversalmomenrum, temperature, exponential, centrality.

KIRISH

Kvant xromodinamikasi (KXD)da vacuum tuzilishidan bog'liq bo'lган ikkita asosiy muammo mavjudbo'lib, uni faqatagina relyativistik yadro fizikasi hal qila oladi. Bu muammolar: rang zaryadlari konfaynmenti va kiral simmetriyaning spontan buzilishidir. Konfaynment adron holatlarining kuzatiluvchi spektrida rangli ob'yektlar yo'qligini bildiradi. Adronlar tuzilishi haqidagi kvark-glyuonlar tsavvurlari nuqtai nazaridan qaralganda, konfaynment - kvark va glyuonlarning 1fm (adronlar o'lchami)dan katta masofalarga tarqala olmasligini anglatadi [1]. Biroq bu tasdiq normal yadro zichligidagina o'rinnlidir. Relyativistik yadrolarning to'qnashuvlarida hosil bo'lувчи yuqori zichlikdagi yadro muddasi dekonfaynmentli fazada, ya'ni bitta nuklonga tegishli bo'lган kvark va glyuonlarning umumlashib qolishi sodir bo'ladi va partonlar to'nashuvchi yadrolar o'lchami qadar masofalarga tarqalishi mumkin. Kiral simmetriyaning spontan buzlishi quyidagini anglatadi. Kvarklar massasining nolga yaqin bo'lган chegarasida, KXDda bu chegara **u** va **d** kvarklar uchun to'la o'rinnli bo'ladi. Chunki $m_{u,d} \ll m_\pi \ll m_N$, ularning KXD lagranjianidagi o'ng va chap komponentalar o'zaro farq qiladi va vektor gluonlar o'zaro ta'sirlashuvlari bilan qo'shilib ketmaydi. Bu esa fizik holatning juftlik bo'yicha g'alayonlanishiga olib kelishi lozim. Boshqa adronlarga nisbatan deyarli massaga ega bo'lмаган va manfiy ichki juftlikka ega bo'lган π -mezon mavjudligi sababli KXD vakuumi kiral asimetrikdir. Shunday qilib, nol temperatura va normal yadro zichliklarida KXD vakuumi konfaynmentlik xususiyatiga ega bo'ladi va buzilgan kiral simmetriya holatida turadi.

ADABIYOTLAR TAHLILI VA METODOLOGIYA

Tajriba qurilmasiva natijalarini olish haqida qisqacha ma'lumot

Hozirgi kunda mikroolam fizikasining eng dolzarb muammolari tezlashtirilayotgan yadrolarning energiyasi bir necha TeV ga qadar bo'lган ulkan kollayderlarda hal etilmoqda. Tuzilishiga ko'ra kollayderlar har xil konstruksiyaviy

yechimlarga ega bo'ladi. Kollayderlar ulkan taqiqot majmuasi bo'lib, unda zarralar yoki ionlashtirilgan og'ir yadrolar (Au, Pb, U) tezlatiluvchi orbitaning uzunligi bir necha o'n kilometrgacha yetadi. Odatda kollayderlar bitta xalqaga ega bo'lgan ikkita sinxrotronidan iborat bo'lib, unga kirirtiluvchi bir xil zaryadli ionlar qarama-qarshi yo'nalishda tezlashtiriladi va bu dastalarining orbita bo'ylab uchrashuv nuqtalari tajriba qurilmalari – detektorlar o'rnatilgan sohada yuzaga keltiriladi. Qarama-qarshi dastalarini tashkil etgan og'ir ionlar to'qnashuvi natijasida yadroviy reaksiya sodir bo'ladi. Bunday kollayderlardan biri Amerika qo'shma shtatlari Brukxeyven milliy laboratoriyasidagi RHIC (Relativistic Heavy Ion Collider – relyativistik o'g'ir ion kollayderi) bo'lib, bu kollayderda Cu, Au va Pb yadrolari tezlashtiriladi. RHIC orbitasining uzunligi 3834 m, yadrolarni bir tomonlama tezlatish energiyasi 100 GeV/nuklon bo'lib, u 2000 yilda ishga tushirilgan.

RHIC da oltin (Au) va uran (U) kabi yadrolar har bir nuklonga to'g'ri keluvchi massa markazi energiyasi 200 GeV bo'lgan energiya bilan to'qnashuvlari[2]. Bunday to'qnashuvlar natijasida partonlardan tashkil topgan, kuchli bog'langan, cho'zilgan, gidrodinamik oqimni namoyon qiluvchi noshaffof sistema (muhit) hosil bo'ladi. Bunday muhitga kuchli bog'langan kvark-glyuonlar plazmasi (KGP) deyiladi.

Og'ir ionlar to'qnashuvlarida vujudga kelgan materiya juda qisqa vaqta mavjud bo'ladi. To'qnashuvdan so'ng u kengayadi va so'ngra barcha partonlarning adronlarga aylanishi (adronizatsiyashuvi) bilan soviydi va ularning ba'zi birlari tajribada detektorlar orqali torlar yoki lider adronlar (masalan, yuqori energiyali π -mezonlar) sifatida qayd qilinishi mumkin. KGP moddasini og'ir ionlar to'qnashuvlarda hosil bo'lgan namuna zarralar spektrlarini shu energiyadagi $p+p$ to'qnashuvlarda hosil bo'lgan zarralar spektrlari bilan taqqoslash orqali tadqiq qilish mumkin. Tor va lider adronlarni o'lchashda namuna zarracha zich muhitning ilk holatida paydo bo'lgan deb qaraladi. Kuzatiuvchi past energiyali adronlar sistemaning boshlang'ich holati va uning evolyutsiyasi haqida ma'lumot beradi. Bunday kuzatishlarni to'qnashuvda ishtirok etuvchi adronlar N_{part} funksiyasi sifatida sistematik ravishda olib borish $\sqrt{S_{NN}}=200$ GeV energiyali Au+Au to'qnashuvlarda hosil bo'lgan materiya xossalari va holatini tushinib olishda juda muhimdir. Biroq $N_{part} < 60$ bo'lgan Au+Au periferik to'qnashuvlarda N_{part} ni aniqlashdagi xatolik 20% atrofida bo'lib[3,4], bunda zarralar to'qnashuv sohasini ularning chiqiqshidan bog'liq bo'lgan har xil ssenariylar bo'yicha tark etishadi.

Zarralar spektrlari va ularni fitlash

Fizikaviy jihatdan kuzatilayotgan d+Au va $p+p$, $A_{Cu}=63$ bo'lgan Cu+Cu kabi nisbatan kichik sistemalar o'lchamining uzaishi yaxshi ekranlangan periferal Au+Au to'qnashuvlardagi ishtirokchi zarralar miqdori bilan ajratib olinadi. Cu+Cu to'qnashuvlar kesimlaridagi noaniqlik xuddi shunday ishtirokchilar sonidagi Au+Au to'qnashuvlar bilan juda kam solishtirilgan. Massa bo'yicha taqsimot izotrop deb taxmin qilsak, Cu+Cu markaziy to'qnashuvlarda ekranlashtirish sohasi sferik bo'ladi. Xuddi shunday ishtirokchi mavjud bo'lgan Au+Au to'qnashuvlardagi sistemaning shakli esa mindal shaklda (pillasimon shaklda) bo'lib, tajriba kuzatishlarida undagi geometrk effektlarni tadqiq qilishga imkon beradi.

Qayd qilingan adronlar bo'yich olingan ko'pgina ma'lumotlar o'rtacha tezkorlik atrofidan olingan. BRAHMS ma'lumotlari ikkala o'rtacha tezkorlik va old sohadagi tezkorliklarda hosil bo'luvchi adronlarni o'rganish, ularning xossalariini solishtirish orqali materiya shakllanishi va har xil kimyoviy shartlar haqidagi bizning bilimlarimizni oshirishning ajoyib yo'lini taklif etadi. $\sqrt{S_{NN}}=200$ GeV energiyali Cu+Cu to'qnashuvlardagi zaryadlangan adronlarning (π^\pm , K^\pm , p , \bar{p}) ko'ndalang impuls p_t spektrlari tezkorlikning $y=0$ va $y=3$ qiymatlarida to'qnashuv markaziyligining funksiyasi sifatida o'lchandi. Natijalar xuddi shunday energiya, tezkorlik va markaziylilik (ishtirokchi zarralar soni) ka ega bo'lgan $p+p$ va Au+Au to'qnashuvlarda olingan natijalar bilan solishtirildi.

Elementar $p+p$ va $p+\bar{p}$ to'qnashuvlarda adronlar spektrlari $p_t \sim 2$ GeV bo'lgan hol uchun peturbativ KXD orqali ifodalab beriladi [5-7]. Bu maqolada Cu+Cu to'qnashuvlar bo'yicha keltirilgan ma'lumotlar quyi fizika sohasini hamda yuqori p_t -o'tish fenomenini qamrab olgan. Bu ishda biz bunday o'tishning kelib chiqishini avvalo sistemaning global gidrodinamik xususiyatlarini portlash to'lqini fitlaridan foydalanib o'rganishdan, ikkinchidan har bir zarra turi uchun to'la chiqishni va $\langle p_t \rangle$ o'rtacha ko'ndalang impulsni keltirish, uchinchidan har xil zarralar nisbatini p_t ning funksiyasi sifatida ko'rsatish va, nihoyat, yadro o'zgarishi (R_{AA}) faktorini p_t va tezkorlik funksiyasi sifatida yig'ish orqali axtariladi.

Cu+Cu sistemada to'qnashuv markaziyligini aniqlash jarayoni ishtirokchi zarralar $\langle N_{part} \rangle$ va ketma-ket to'qnashuvchi nuklonlar $\langle N_{coll} \rangle$ miqdorini qo'llash Au+Au to'qnashuvlar o'rganilgan [8] ishda batafsil bayon etilgan. Jaryon davomida olingan qiymatlar 1-jadvalda keltirilgan. Bu tahlil uchun voqealar 4 ta markaziylilik sohasiga bo'lingan: 0-10%, 10-30%, 30-50%, 50-70%. Nominal to'qnashuv nuqtasidan ± 25 sm masofadagi voqealar tanlangan.

1-jadval. Cu+Cu to'qnashuvlar markaziyligi sohasi uchun
 $\langle N_{part} \rangle$ va $\langle N_{coll} \rangle$ kattaliklar qiymatlari.

Markaziylilik	$\langle N_{part} \rangle$	$\langle N_{coll} \rangle$
0-10%	97±0,8	166±2
10-30%	61±02,6	85±5
30-50%	29±4,3	30±6
50-70%	12±3,2	9.6±3,2

Og'ir ionlarning to'qnashuvlarida hosil bo'lgan ikkilamchi zarralarning ko'ndalang impuls p_t spektrini o'lchash partonli muhitning xususiyatlarini namoyon etuvchi bir qator kattaliklarni o'rganishda birinchi va muhim qadam hisolanadi.

2-jadval. π^+ -mezonlarni Levi funksiyasi bilan fitlash natijalari. Fitlash sohasi $y=0$ holatda

$0,35 \text{ GeV}/c < p_t < 2,0 \text{ GeV}/c$ va $y=3$ holatda $0,45 \text{ GeV}/c < p_t < 2,0 \text{ GeV}/c$

	Markaziylilik	dN/dy	(dN/dy) _m	N _m /N	$\langle p_t \rangle$, MeV	χ^2/EDS	n ₀	T, MeV
$y=0$	0-10%	81,1±3,1±5,9	42,1	0,52	454±2±21	0,2/9	12,8	172
	10-30%	48,0±2,1±3,5	24,3	0,51	445±4±21	0,9/9	11,6	164
	30-50%	21,8±0,5±1,6	10,8	0,50	438±2±21	0,2/9	11,2	159
	50-70%	8,5±0,40±0,62	4,0	0,47	418±5±20	2,4/9	10,2	147
$y=3$	0-10%	33,7±3,5±3,0	11,2	0,33	401±8±26	12,2/9	17,0	159
	10-30%	18,3±1,9±1,6	6,6	0,36	424±9±28	16,2/9	19,3	173
	30-50%	9,3±0,88±0,83	3,1	0,33	403±7±26	7,3/9	16,1	158
	50-70%	3,3±0,70±0,29	1,2	0,35	418±14±27	23,0/9	17,9	168

3-jadval. π^- -mezonlarni Levi funksiyasi bilan fitlash natijalari. Fitlash sohasi $y=0$ holatda

$0,35 \text{ GeV}/c < p_t < 2,0 \text{ GeV}/c$ va $y=3$ holatda $0,45 \text{ GeV}/c < p_t < 2,0 \text{ GeV}/c$

	Marka-ziylik	dN/dy	(dN/dy) _m	N _m /N	$\langle p_t \rangle$, MeV	χ^2/EDS	n ₀	T, MeV
y=0	0-10%	78,0±3,3±4,9	41,1	0,53	460±4±22	0,9/9	13,3	176
	10-30%	44,7±1,9±2,8	23,2	0,52	455±5±21	2,1/9	12,3	170
	30-50%	20,5±0,9±1,3	10,2	0,50	441±3±21	0,5/9	10,6	158
	50-70%	8,0±0,36±0,51	3,8	0,47	421±4±20	0,7/9	10,2	148
y=3	0-10%	32,4±3,1±2,9	11,2	0,35	411±8±27	14,5/9	17,5	164
	10-30%	20,8±1,8±1,8	7,4	0,36	419±8±27	13,9/9	21,0	173
	30-50%	11,1±1,4±1,0	3,5	0,32	392±9±25	16,8/9	15,5	152
	50-70%	3,6±0,40±0,32	1,3	0,36	424±8±28	5,2/9	20,5	174

Spektrlarni sistematik ravishda tadqiq qilishularni har xil funksiyalar bilan fitlashni talab etadi. Pionlar spektrini $A \cdot (1 + \frac{m_T - m_0}{n_0 T})^{-n_0}$ ko'inishdagi Levi funksiyasi bilan fitlash yaxshi natija beradi [9-11]. Fitlash natijalari 2- va 3-jadvallarda keltirilgan.

Kaonlar va protonlar uchun spektrlar $A \cdot m_T e^{-\frac{m_T}{T}}$ ko'inishdagi Boltzman exponensial funksiyasi bilan fitlanishi maqsadga muvofiq ekanligi aniqlandi. Boltzman funksiyasi uchun T fitlash parametrini sistemaning effektiv temperaturasi deb olish mumkin. Levi funksiyasi bilan fitlash uchun olingan p_t ko'ndalng impuls sohasi Boltzman funksiyasi yordamida p_t bilan fitlash sohasidan ancha keng bo'lisligi ponlar chiqishini va $\langle p_t \rangle$ ni yaxshiroq aniqlashga imkon beradi.

Fitlash jarayonida vaznlar statistik xatoliklar kvadratlarining hamda nuqtalardagi sistematik xatoliklarning yig'indisi sifatida olindi. Fitlash sohasi (oralig'i) fitlash parametrlari, erkinlik darajalari soni (EDS) va χ^2/EDS qiymatlar pionlar, kaonlar va protonlar uchun IV, V, VI jadvallarda keltirilgan. Chiqishning yig'indi qiymati dN/dy va ko'ndalang impulsning o'rtacha qiymati $\langle p_t \rangle$ fitlovchi funksiyani o'lchash chegarasidan tashqarida extrapolatsiya qilish yo'li bilan olindi. dN/dy va $\langle p_t \rangle$ kattaliklarning natijalaridagi dominant noaniqliklar spektrni $p_t=0$ qadar

extropolyatsiya qilishdan paydo bo'ladi. Ular fitlashda funksiyaning harxil shakli hamda p_t ningl sohasi bilan baholanadi. Pionlar va kaonlar uchun $p_t=0$ qadar extropolyatsiya qilish $y=3$ holatda $y=0$ bo'lgandagi holatga nisbatan ancha sezilarli. Chunki p_t sohasining quyi chegarasi $y=3$ holatdagiga nisbatan ancha yuqori. Bu effekt old spektrlardagi sistematik noaniqliklarni oshiradi. Chiquvchi zarralarning bir qismi BRAHMSda spektrometr ulanishi va zarralar turidan bog'liq holda 30-75% atrofida qayd qilinadi.

O'rtacha tezkorlik va old tezkorlik ma'lumotlari uchun bir vaqtda pion, kaon, proton va antiprotonlar spektrlari bir vaqtda uchta parameter: T_{kin} , β_s va α bilan fitlash bajarildi. Normallashtirish parametri ma'lumotlar yiqindisini fitlash orqali olindi. Reazonaslardan hosil bo'luchchi va impulsi 0,4 GeV/c dan past bo'lgan zarralar hisobga olinmadi, chunki ular tufayli sodir bo'luchchi effektlar deyarli sezilmaydi. Fitlash sohasi pionlar uchun $p_t < 1,8$ GeV/c, kaonlar uchun $p_t < 2,0$ GeV/c, protonlar uchun $p_t < 3,0$ GeV/c.

4-jadval. K^+ -mezonlarni m_T ga bjjg'liq exponensial funkiya bilan fitlash natijalari. Fitlash sohasi $y=0$ holatda $0,45 \text{ GeV}/c < p_t < 2,0 \text{ GeV}/c$ va $y=3$ holatda $0,75 \text{ GeV}/c < p_t < 2,5 \text{ GeV}/c$

	Marka-ziylik	dN/dy	(dN/dy) _m	N _m /N	$\langle p_t \rangle$, MeV	χ^2/EDS	T, MeV
y=0	0-10%	$12,3 \pm 0,32 \pm 0,89$	7,6	0,62	$674 \pm 10 \pm 22$	1,6/7	277
	10-30%	$6,9 \pm 0,01 \pm 0,50$	4,2	0,61	$663 \pm 7 \pm 21$	0,9/7	271
	30-50%	$2,8 \pm 0,02, \pm 0,20$	1,7	0,62	$663 \pm 7 \pm 21$	3,9/7	273
	50-70%	$1,0 \pm 0,05 \pm 0,12$	0,6	0,59	$625 \pm 14 \pm 20$	3,4/7	251
y=3	0-10%	$4,6 \pm 0,29 \pm 0,36$	1,3	0,27	$611 \pm 14 \pm 20$	4,1/4	244
	10-30%	$3,0 \pm 0,20 \pm 0,23$	0,78	0,26	$594 \pm 19 \pm 19$	5,8/4	235
	30-50%	$1,4 \pm 0,11 \pm 0,11$	0,34	0,25	$577 \pm 20 \pm 18$	5,7/4	226
	50-70%	$0,39 \pm 0,05 \pm 0,03$	0,10	0,26	$600 \pm 27 \pm 19$	5,4/4	238

5-jadval.K⁻-mezonlarni m_T ga bog'liq exponensial funkiya bilan fitlash natijalari.
 Fitlash sohasi y=0 holatda $0,45 \text{ GeV/c} < p_t < 2,0 \text{ GeV/c}$ va y=3 holatda $0,75 \text{ GeV/c} < p_t < 2,5 \text{ GeV/c}$

	Marka-ziylik	dN/dy	(dN/dy) _m	N _m /N	$\langle p_t \rangle$, MeV	χ^2/EDS	T, MeV
y=0	0-10%	$11,2 \pm 0,23 \pm 0,71$	7,2	0,64	6829 ± 22	2,0/8	282
	10-30%	$6,1 \pm 0,15 \pm 0,38$	3,9	0,64	$683 \pm 12 \pm 22$	4,3/8	282
	30-50%	$2,5 \pm 0,08 \pm 0,16$	1,6	0,63	$677 \pm 26 \pm 22$	11,4/8	279
	50-70%	$0,7 \pm 0,02 \pm 0,10$	0,5	0,64	$685 \pm 28 \pm 22$	10,8/8	283
y=3	0-10%	$3,9 \pm 0,02 \pm 0,30$	0,96	0,25	$569 \pm 12 \pm 18$	5,5/5	222
	10-30%	$2,2 \pm 0,12 \pm 0,17$	0,57	0,26	$580 \pm 10 \pm 19$	4,4/5	227
	30-50%	$1,0 \pm 0,05 \pm 0,08$	0,24	0,23	$551 \pm 12 \pm 18$	4,8/5	213
	50-70%	$0,34 \pm 0,02 \pm 0,03$	0,08	0,25	$572 \pm 12 \pm 18$	1,5/5	223

6-jadval.Protonlarni m_T ga bog'liq exponensial funkiya bilan fitlash natijalari. Fitlash sohasi y=0 holatda $0,55 \text{ GeV/c} < p_t < 2,0 \text{ GeV/c}$ va y=3 holatda $0,45 \text{ GeV/c} < p_t < 2,5 \text{ GeV/c}$

	Marka-ziylik	dN/dy	(dN/dy) _m	N _m /N	$\langle p_t \rangle$, MeV	χ^2/EDS	T, MeV
y=0	0-10%	$8,1 \pm 0,03 \pm 0,51$	5,7	0,70	$896 \pm 18 \pm 29$	9,1/9	332
	10-30%	$4,7 \pm 0,10 \pm 0,29$	3,2	0,69	$874 \pm 9 \pm 28$	1,9/9	320
	30-50%	$2,1 \pm 0,05 \pm 0,13$	1,4	0,67	$831 \pm 14 \pm 27$	6,4/9	296
	50-70%	$0,7 \pm 0,03 \pm 0,05$	0,46	0,64	$784 \pm 25 \pm 25$	12,3/9	271
	0-10%	$7,0 \pm 0,03 \pm 0,44$	5,1	0,74	$775 \pm 13 \pm 25$	10,3/10	266

y=3	10-30%	4,3±0,11±0,27	3,2	0,73	761±16±24	12,4/10	259
	30-50%	2,0±0,07±0,12	1,4	0,71	737±38±24	23,2/10	247
	50-70%	0,76±0,04±0,05	0,54	0,70	712±57±23	30,7/10	234

7-jadval. Antirotonlarni m_T ga bog'liq eksponentsiyal funkiya bilan fitlash natijalari.
 Fitlash sohasi $y=0$ holatda $0,55 \text{ GeV}/c < p_t < 2,0 \text{ GeV}/c$ va $y=3$ holatda $0,45 \text{ GeV}/c < p_t < 2,5 \text{ GeV}/c$

	Markaziylik	dN/dy	(dN/dy) _m	N _m /N	$\langle p_t \rangle$, MeV	χ^2/EDS	T, MeV
y=0	0-10%	6,0±0,17±0,38	4,3	0,70	906±38±29	15,9/9	338
	10-30%	3,5±0,11±0,22	2,4	0,69	880±12±28	3,9/9	323
	30-50%	1,5±0,04±0,10	1,0	0,68	839±16±27	7,7/9	300
	50-70%	0,6±0,02±0,04	0,38	0,64	781±22±25	10,9/9	269
y=3	0-10%	1,2±0,04±0,07	0,73	0,62	750±20±24	11,7/9	254
	10-30%	0,86±0,04±0,05	0,53	0,61	731±31±23	17,1/9	244
	30-50%	0,37±0,01±0,02	0,22	0,60	719±27±23	14,2/9	238
	50-70%	0,15±0,01±0,01	0,09	0,57	685±42±22	18,2/9	221

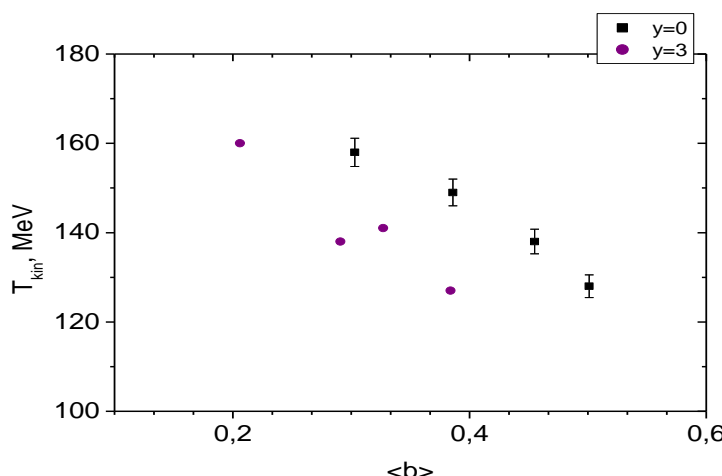
2-rasmdagi chiziqlar fitlash natijalari. Uzluksiz chiziqlar fitlash uchun ko'ndalang massa sohasini ko'rsatadi va uzlukli chiziqlar funksiyalarini fitlash sohasida extropolyatsiya qilish natijalari.

1-rasmida tezkorlikning ikkala qiymatidagi ($y=0$ va $y=3$) markaziy to'qnashuvlar uchun kinetik temperatura T_{kin} va o'rtacha ko'ndalang tezlik $\langle \beta \rangle = \frac{2}{\alpha+2} \cdot \beta_s$ o'rtasidagi korrelyatsiya keltirilgan. To'qnashuv markaziyligi oshishida (3-rasmda o'ngdan chapga qarab yurish) $\langle \beta \rangle$ oshisib borishi bilan T_{kin} ning pasayib

[Google Scholar](#)

[Scientific Library of Uzbekistan](#)

borishi kuzatiladi. Bu esa keng (cho'zilgan) tizim ko'proq vaqt qolishligini anglatadi. Sistema partonlarning tasodifiy termal harakatlari oqibatida sovushligi sababli ular temperaturasini yo'qotish bilan hajmiy radial oqimga o'tadi va o'rtacha tezlikni oshiradi.



1-rasm. $\sqrt{S_{NN}} = 200$ GeV energiyali Cu+Cu to'qnashuvlarda portlash to'lqini fit parametrlari kinetik energiya T_{kin} va o'rtacha ko'ndalang tezlik $\langle b \rangle$ o'rtasidagi bog'lanish.

$y=0$ vay=3 holatarda T_{kin} chiziqlario'xshashbo'lsada, $\langle \beta \rangle \sim 0,3$ qiymatida ($y=3$) birozaksholatpaydobo'lib, butemperaturaning taxminan 20 MeVga qadar pastekanligini vay=3 bo'lgandazarralar zichligining pastbo'lishiehtimoliborliginiko'rsatadi. Berilgan dN/dy uchun T_{kin} va $\langle \beta \rangle$ kattaliklar $y=3$ bo'lganda kichik (kichik energiya qayd qilinadi) bo'lib, old tezkorlikdagi materiyani ifodalaydi. Cu+Cu va Au+Au reaksiyalarda dN/dy o'zgaruvchining T_{kin} va $\langle \beta \rangle$ kattaliklardan bog'liqligi juda o'xshash bo'lib, kinetic energiya biroz yuqori va o'rtacha tezlik biroz pastligi bilan farq qiladi.

XULOSA

$\sqrt{S_{NN}}=200$ GeV energiyali Cu+Cu to'qnashuvlardagi zaryadlangan adronlarning (π^\pm , K^\pm , p , \bar{p}) ko'ndalang impuls p_t spektrlari $A \cdot (1 + \frac{m_T - m_0}{n_0 T})^{-n_0}$ ko'rinishdagi Levi funksiyasi hamda $A \cdot m_T e^{-\frac{m_T}{T}}$ ko'rinishdagi Boltzman exponensial funksiyasi bilan juda yaxshi fitlanadi (ifodalanadi). Zarralar soni N_{part} oshisha borishi bilan T_{kin} tempertura kamayadi va $\langle \beta \rangle$ tezlik oshib boradi.

Berilgan $\langle\beta\rangle$ uchun T_{kin} kinetik energiya $y=3$ holatda $y=0$ holatga nisbatan 15-20 MeV pastroq. Berilgan N_{part} uchun kaonlar dN/dy qiymati Cu+Cu to'qnashuvlarda Au+Au to'qnashuvlarga nisbatan birmuncha kichik.

Cu+Cu to'qnashuvlarda pionlar va kaonlarning chiqishi $p+p$ to'qnashuvlarga nisbatan anchayin qiyinlashgan. To'qnashuv markaziyligi oshishi bilan bu qiyinlashish ham kuchayib boradi. Bu hodisa ayniqsa old tezkorlikda yaqqol kuzatiladi.

REFERENCES

1. Емельянов В.М., Тимошенко С.Л., Стриханов М.Н. Введение в релятивистскую ядерную физику. М., Физматлит-2004
2. Kh.Olimov et al. Average transverse expansion velocities and global freeze-out temperatures in central Cu + Cu, Au + Au, and Pb + Pb collisions at high energies at RHIC and LHC. Modern Physics Letters A. Vol. 35, No. 14 (2020) 2050115 (25 pages).
3. S.Adleretal. (PHENIX), Phys.Rev. C69,034909 (2004).
4. A.Adareetal. (PHENIX), Phys.ReV. C88, 024906 (2013).
5. F.Abeetal. (CDF), Phys.Rev.Lett. 61, 1819 (Oct. 1988).
6. S.S.Adler et al. (PHENIX Collaboration), Phys.Rev. C69, 0344910 (Mar.2004).
7. A.Adare et al. (PHENIX Collaboration), Phys.Rev. D 76, 051106 (Sep.2007).
8. J.Adams et al. (STAR), Phys.Rev. C71, 064902, (2005).
9. A.Adareetal. (PHENIX), Phys.Rev. D83, 052004, (2011).
10. M.U.Sultanov, A.N.Jumanov, A.A.Usarov, Q.Kh.Yakhshiboyev, A.I.Suvanov. Fitting the spectra of pions, kaons, protons, and antiprotons in relativistic Cu+Cu collisions. International Virtual Conference on Science, Tecnology and Educational Practices. Hosted from Gorontalo, Indnesia. February 20 th – 21 th 2021.
11. M.U.Sultanov, U.Yuldashev, A.A.Usarov, G.Yu.Nodirov, O.J.Jalilov, K.O.Pirmatova, F.B.Tugalov. Some Important Aspects of CC- Interactions at a momentum of 4.2 GeV/c per Nucleon. Annals of R.S.S.B., ISSN: 1583-6258, Vol.25, Issue 4, 2021, Pages 6245-6253. Eceived 05 March 2021; Accepted 01 April 2021.